

Script generated by TTT

Title: Esparza: DWT (03.05.2012)

Date: Thu May 03 14:19:24 CEST 2012

Duration: 86:19 min

Pages: 57

Beweis:

Zunächst zeigen wir, dass aus (2) die Bedingung (3) folgt. Wir beweisen dies durch Induktion über die Anzahl der Nullen in s_1, \dots, s_n . Wenn $s_1 = \dots = s_n = 1$ gilt, so ist nichts zu zeigen. Andernfalls gelte ohne Einschränkung $s_1 = 0$. Aus dem Additionssatz folgt dann

$$\Pr[\bar{A}_1 \cap A_2^{s_2} \cap \dots \cap A_n^{s_n}] = \Pr[A_2^{s_2} \cap \dots \cap A_n^{s_n}] - \Pr[A_1 \cap A_2^{s_2} \cap \dots \cap A_n^{s_n}].$$

Darauf können wir die Induktionsannahme anwenden und erhalten

$$\begin{aligned} \Pr[\bar{A}_1 \cap A_2^{s_2} \cap \dots \cap A_n^{s_n}] &= \Pr[A_2^{s_2}] \cdot \dots \cdot \Pr[A_n^{s_n}] - \Pr[A_1] \cdot \Pr[A_2^{s_2}] \cdot \dots \cdot \Pr[A_n^{s_n}] \\ &= (1 - \Pr[A_1]) \cdot \Pr[A_2^{s_2}] \cdot \dots \cdot \Pr[A_n^{s_n}], \end{aligned}$$

woraus die Behauptung wegen $1 - \Pr[A_1] = \Pr[\bar{A}_1]$ folgt.

Beweis (Forts.):

Für die Gegenrichtung zeigen wir nur, dass aus (3)

$\Pr[A_1 \cap A_2] = \Pr[A_1] \cdot \Pr[A_2]$ folgt. Es gilt wegen des Satzes von der totalen Wahrscheinlichkeit, dass

$$\begin{aligned} \Pr[A_1 \cap A_2] &= \sum_{s_3, \dots, s_n \in \{0,1\}} \Pr[A_1 \cap A_2 \cap A_3^{s_3} \cap \dots \cap A_n^{s_n}] \\ &= \sum_{s_3, \dots, s_n \in \{0,1\}} \Pr[A_1] \cdot \Pr[A_2] \cdot \Pr[A_3^{s_3}] \cdot \dots \cdot \Pr[A_n^{s_n}] \\ &= \Pr[A_1] \cdot \Pr[A_2] \cdot \sum_{s_3=0,1} \Pr[A_3^{s_3}] \cdot \dots \cdot \sum_{s_n=0,1} \Pr[A_n^{s_n}] \\ &= \Pr[A_1] \cdot \Pr[A_2], \end{aligned}$$

und es folgt die Behauptung. □

Aus der Darstellung in Lemma 26 folgt die wichtige Beobachtung, dass für zwei unabhängige Ereignisse A und B auch die Ereignisse \bar{A} und B (und analog auch A und \bar{B} bzw. \bar{A} und \bar{B}) unabhängig sind!

Ebenso folgt:

Lemma 27

Seien A , B und C unabhängige Ereignisse. Dann sind auch $A \cap B$ und C bzw. $A \cup B$ und C unabhängig.

Beweis:

Zur Unabhängigkeit von $A \cap B$ und C siehe das vorangehende Beispiel.

Aus

$$\begin{aligned}\Pr[(A \cup B) \cap C] &= \Pr[(A \cap C) \cup (B \cap C)] \\ &= \Pr[A \cap C] + \Pr[B \cap C] - \Pr[A \cap B \cap C] \\ &= \Pr[C] \cdot (\Pr[A] + \Pr[B] - \Pr[A \cap B]) \\ &= \Pr[A \cup B] \cdot \Pr[C]\end{aligned}$$

folgt die Unabhängigkeit von $A \cup B$ und C . □

4. Satz von Bayes

Satz 28 (Satz von Bayes)

Die Ereignisse A_1, \dots, A_n seien paarweise disjunkt, mit $\Pr[A_j] > 0$ für alle j . Ferner sei $B \subseteq A_1 \cup \dots \cup A_n$ ein Ereignis mit $\Pr[B] > 0$. Dann gilt für ein beliebiges $i = 1, \dots, n$

$$\Pr[A_i|B] = \frac{\Pr[A_i \cap B]}{\Pr[B]} = \frac{\Pr[B|A_i] \cdot \Pr[A_i]}{\sum_{j=1}^n \Pr[B|A_j] \cdot \Pr[A_j]}.$$

Analog gilt für paarweise disjunkte Ereignisse A_1, A_2, \dots mit $B \subseteq \bigcup_{i=1}^{\infty} A_i$, dass

$$\Pr[A_i|B] = \frac{\Pr[A_i \cap B]}{\Pr[B]} = \frac{\Pr[B|A_i] \cdot \Pr[A_i]}{\sum_{j=1}^{\infty} \Pr[B|A_j] \cdot \Pr[A_j]}.$$

4. Satz von Bayes

Satz 28 (Satz von Bayes)

Die Ereignisse A_1, \dots, A_n seien paarweise disjunkt, mit $\Pr[A_j] > 0$ für alle j . Ferner sei $B \subseteq A_1 \cup \dots \cup A_n$ ein Ereignis mit $\Pr[B] > 0$. Dann gilt für ein beliebiges $i = 1, \dots, n$

$$\Pr[A_i|B] = \frac{\Pr[A_i \cap B]}{\Pr[B]} = \frac{\Pr[B|A_i] \cdot \Pr[A_i]}{\sum_{j=1}^n \Pr[B|A_j] \cdot \Pr[A_j]}.$$

Analog gilt für paarweise disjunkte Ereignisse A_1, A_2, \dots mit $B \subseteq \bigcup_{i=1}^{\infty} A_i$, dass

$$\Pr[A_i|B] = \frac{\Pr[A_i \cap B]}{\Pr[B]} = \frac{\Pr[B|A_i] \cdot \Pr[A_i]}{\sum_{j=1}^{\infty} \Pr[B|A_j] \cdot \Pr[A_j]}.$$

Wir definieren: $B = \text{Der Patient zeigt die Belegung } \mathcal{B}$. Es gilt $B = \bigcap_{j=1}^m U_j$, wobei

$$U_j = \begin{cases} S_j & \text{falls } \mathcal{B}(j) = 1 \\ S_j & \text{sonst} \end{cases}$$

Der Satz von Bayes kann nun mit $A_i = K_i$ angewendet werden, unter der Annahme, daß der Patient eine und genau eine der Krankheiten K_1, \dots, K_n hat.

Seien K_1, \dots, K_n Krankheiten und S_1, \dots, S_m Symptome.

Wir definieren Ereignisse:

$$K_i = \text{Der Patient hat die Krankheit } K_i$$
$$S_j = \text{Der Patient zeigt das Symptom } S_j$$

Eine Belegung der Symptome ist ein Element von $\{0, 1\}^m$. Jedem Patient kann eine Belegung zugeordnet werden, die angibt, welche Symptome im Patient vorhanden ($\mathcal{B}(j) = 1$) und abwesend ($\mathcal{B}(j) = 0$) sind.

4. Satz von Bayes

Satz 28 (Satz von Bayes)

Die Ereignisse A_1, \dots, A_n seien paarweise disjunkt, mit $\Pr[A_j] > 0$ für alle j . Ferner sei $B \subseteq A_1 \cup \dots \cup A_n$ ein Ereignis mit $\Pr[B] > 0$. Dann gilt für ein beliebiges $i = 1, \dots, n$

$$\Pr[A_i|B] = \frac{\Pr[A_i \cap B]}{\Pr[B]} = \frac{\Pr[B|A_i] \cdot \Pr[A_i]}{\sum_{j=1}^n \Pr[B|A_j] \cdot \Pr[A_j]}.$$

Analog gilt für paarweise disjunkte Ereignisse A_1, A_2, \dots mit $B \subseteq \bigcup_{i=1}^{\infty} A_i$, dass

$$\Pr[A_i|B] = \frac{\Pr[A_i \cap B]}{\Pr[B]} = \frac{\Pr[B|A_i] \cdot \Pr[A_i]}{\sum_{j=1}^{\infty} \Pr[B|A_j] \cdot \Pr[A_j]}.$$



Im Spezialfall, in dem die Ereignisse $S_1 \cap K_i, \dots, S_m \cap K_i$ unabhängig sind für alle $1 \leq i \leq n$ erhalten wir

$$\begin{aligned}
 \Pr[B|K_i] \cdot \Pr[K_i] &= \Pr[B \cap K_i] \\
 &= \Pr\left[\left(\bigcap_{k=1}^m U_k\right) \cap K_i\right] \\
 &= \Pr\left[\bigcap_{k=1}^m (U_k \cap K_i)\right] \\
 &\stackrel{\text{Unabh.}}{=} \prod_{k=1}^m \Pr[U_k \cap K_i] \\
 &= \prod_{k=1}^m (\Pr[U_k|K_i] \cdot \Pr[K_i]) \\
 &= \Pr[K_i]^m \cdot \prod_{k=1}^m \Pr[U_k|K_i]
 \end{aligned}$$

Wir definieren: $B =$ Der Patient zeigt die Belegung \mathcal{B} . Es gilt $B = \bigcap_{j=1}^m U_j$, wobei

$$U_j = \begin{cases} S_j & \text{falls } \mathcal{B}(j) = 1 \\ \bar{S}_j & \text{sonst} \end{cases}$$

Der Satz von Bayes kann nun mit $A_i = K_i$ angewendet werden, unter der Annahme, daß der Patient eine und genau eine der Krankheiten $\mathcal{K}_1, \dots, \mathcal{K}_n$ hat.

Im Spezialfall, in dem die Ereignisse $S_1 \cap K_i, \dots, S_m \cap K_i$ unabhängig sind für alle $1 \leq i \leq n$ erhalten wir

$$\begin{aligned}
 \underline{\Pr[B|K_i] \cdot \Pr[K_i]} &= \underline{\Pr[B \cap K_i]} \\
 &= \Pr\left[\left(\bigcap_{k=1}^m U_k\right) \cap K_i\right] \\
 &= \Pr\left[\bigcap_{k=1}^m (U_k \cap K_i)\right] \\
 &\stackrel{\text{Unabh.}}{=} \prod_{k=1}^m \Pr[U_k \cap K_i] \\
 &= \prod_{k=1}^m (\Pr[U_k|K_i] \cdot \Pr[K_i]) \\
 &= \Pr[K_i]^m \cdot \prod_{k=1}^m \Pr[U_k|K_i]
 \end{aligned}$$

Durch Einsetzen im Satz von Bayes:

$$\Pr[K_i|B] = \frac{\Pr[K_i]^m \cdot \prod_{k=1}^m \Pr[U_k|K_i]}{\sum_{j=1}^n \Pr[K_j]^m \cdot \prod_{k=1}^m \Pr[U_k|K_j]}$$

mit

$$\Pr[U_k|K_i] = \begin{cases} \Pr[S_k|K_i] & \text{falls } \mathcal{B}(k) = 1 \\ 1 - \Pr[S_k|K_i] & \text{sonst} \end{cases}$$

Beispiel 29 (Diagnose von Hirntumoren)

Microscopic description: The H&E sections show a tumor with a predominately **papillary or filiform architecture** (Figures 2 and 3). The cells are arranged in a **pseudocolumnar fashion** forming **perivascular palisades** about a fibrovascular core. There is **marked nuclear pleomorphism** with many bizarre nuclei, and a **brisk mitotic rate** (Figure 4), the nucleoli are indistinct. In areas, the papillary configuration gives way to patternless sheets of cells interrupted by **zonal necrosis**. Focally, the tumor cells surround **microcavities** which are either optically empty or contain "wisps" of eosinophilic fibrillary material. **Confluent calcospherites** are focally prominent. **Vascular endothelial proliferation** is present. **Foci of glial frame** indicate invasiveness. **Rests of native plexus** are occasionally encountered.

Beispiel 29 (Diagnose von Hirntumoren)

Microscopic description: The H&E sections show a tumor with a predominately **papillary or filiform architecture** (Figures 2 and 3). The cells are arranged in a **pseudocolumnar fashion** forming **perivascular palisades** about a fibrovascular core. There is **marked nuclear pleomorphism** with many bizarre nuclei, and a **brisk mitotic rate** (Figure 4), the nucleoli are indistinct. In areas, the papillary configuration gives way to patternless sheets of cells interrupted by **zonal necrosis**. Focally, the tumor cells surround **microcavities** which are either optically empty or contain "wisps" of eosinophilic fibrillary material. **Confluent calcospherites** are focally prominent. **Vascular endothelial proliferation** is present. **Foci of glial frame** indicate invasiveness. **Rests of native plexus** are occasionally encountered.

(1-ε) ~

ε

Beispiel 0 (Forts.: *A priori* Wahrscheinlichkeiten)

Diagnose	Wahrscheinlichkeit
Grade I	0.25
Grade II	0.25
Grade III	0.20
Grade IV	0.30

Beispiel 0 (Forts.: Bedingte Wahrscheinlichkeiten)

		Gr. I	Gr. II	Gr. III	Gr. IV
Diffuse infiltration	DI	0.364	0.878	0.896	0.819
Necrosis	NE	0.221	0.246	0.716	0.850
Vascular abnormalities	VA	0.648	0.686	0.849	0.926
Vascular occlusions	VO	0.113	0.121	0.518	0.640
Nuclear polymorphism	NP	0.702	0.825	0.971	0.968
Cellular polymorphism	CP	0.362	0.706	0.801	0.833
Visible percyton	VP	0.494	0.865	0.896	0.887
Typical mitoses	TM	0.121	0.109	0.726	0.853
Atypical mitoses	AM	0.005	0.029	0.556	0.733
Undifferentiated cells	UC	0.413	0.450	0.651	0.943

df - PDF Annotator

Datei Bearbeiten Werkzeug Ansicht Extras Fenster Hilfe

2012-dwt.pdf

Seiten Lesezeichen

Beispiel 0 (Forts.: Bedingte Wahrscheinlichkeiten)

	Gr. I	Gr. II	Gr. III	Gr. IV
- Diffuse infiltration	DI 0.364	0.878	0.896	0.819
- Necrosis	NE 0.221	0.246	0.716	0.850
- Vascular abnormalities	VA 0.648	0.686	0.849	0.926
Vascular occlusions	VO 0.113	0.121	0.518	0.640
Nuclear polymorphism	NP 0.702	0.825	0.971	0.968
Cellular polymorphism	CP 0.362	0.706	0.801	0.833
Visible pericyarion	VP 0.494	0.865	0.896	0.887
Typical mitoses	TM 0.121	0.109	0.726	0.853
Atypical mitoses	AM 0.005	0.029	0.556	0.733
Undifferentiated cells	UC 0.413	0.450	0.651	0.943

Gändert 91 von 462 DE 14:58 03.05.2012

df - PDF Annotator

Datei Bearbeiten Werkzeug Ansicht Extras Fenster Hilfe

2012-dwt.pdf

Seiten Lesezeichen

Beispiel 0 (Forts.: Bedingte Wahrscheinlichkeiten)

BTC (Brain Tumour Consultant) is a free platform to obtain a second opinion on histopathological diagnosis in brain tumours. It includes several applications to predict a "malignancy coefficient", to establish differential diagnosis and to estimate patient survival time.

BTC is also a repository of data completely anonymized where "user-collaborators" may have access to compare their cases with the data of other series or cases with similar or different treatment strategies, biopathological features etc.

DE 14:58 03.05.2012

location | Brain Tumour Consultant - Mozilla Firefox

Datei Bearbeiten Ansicht Chronik Lesezeichen Extras Hilfe

Grado Application | Brain Tumour Co... x Google

2dzanga.com/btc/index.php?r=grado/about

Usuario de Prueba (logout)

Brain Tumour Consultant

HOME APPLICATIONS ACCOUNT HELP

GRADO MEDES DSI

About Grado

Tumoral grading (WHO-classification) is a very important aspect for diagnosis since treatment and outcomes of cases greatly depend on it. However, it is difficult to establish a precise grading because well delimited boundaries between malignancy degrees do not exist and thus the final decision remains subjective.

We present an online protocol for grading brain tumours. It offers great objectivity and has already permitted the analysis on a big amount of brain tumours which characteristics change and how they change among malignancy degree.

Circa one thousand five hundred brain tumours were used as a database. On paraffin sections histological and immunohistochemical studies were performed. When a histological characteristic was present the observer indicated its degree: low, middle or high (1, 2, 3). No present or not detected = 0. Discriminant functions, regression analysis and neuronal networks were used to decide which of the 50 characteristics we studied is related to malignancy.

Following characteristics indicating malignancy were used: *Diffuse infiltration, Necrosis, Vascular abnormalities, Vascular thrombosis, Nuclear polymorphism, Cellular polymorphism, Cytoplasm size, Typical mitoses, Atypical mitoses and Undifferentiated cells*. More than ten thousand brain tumors validated GRADO-IGL until January 2009. More of 95% of the tested tumours are correctly classified.

APPLICATION MENU

- About Grado
- Grado Application
- Grado Help

14:58 03.05.2012

location | Brain Tumour Consultant - Mozilla Firefox

Datei Bearbeiten Ansicht Chronik Lesezeichen Extras Hilfe

Grado Application | Brain Tumour Co... x Google

2dzanga.com/btc/index.php?r=grado/main

GRADO MEDES DSI

Grado

APPLICATION MENU

- About Grado
- Grado Application
- Grado Help

Diffuse infiltration	0	1	2	3
Necrosis	0	1	2	3
Vascular abnormalities	0	1	2	3
Vascular occlusions	0	1	2	3
Cellular polymorphism	0	1	2	3
Pericyarion size	0	1	2	3
Nuclear polymorphism	0	1	2	3
Typical mitoses	0	1	2	3
Atypical mitoses	0	1	2	3
Undifferentiated cells	0	1	2	3

Evaluate

DE 14:58 03.05.2012

location | Brain Tumour Consultant - Mozilla Firefox
 Datei bearbeiten Ansicht Chronik Lesezeichen Extras Hilfe
 Grado Application | Brain Tumour Co... x iGoogle
 2dzanga.com/btc/index.php?=grado/main

GRADO MEDES DSI

Grado

Diffuse infiltration 0 1 2 3

Necrosis 0 1 2 3

Vascular abnormalities 0 1 2 3

Vascular occlusions 0 1 2 3

Cellular polymorphism 0 1 2 3

Pericyron size 0 1 2 3

Nuclear polymorphism 0 1 2 3

Typical mitoses 0 1 2 3

Atypical mitoses 0 1 2 3

Undifferentiated cells 0 1 2 3

APPLICATION MENU

- About Grado
- Grado Application**
- Grado Help

Typical mitoses: Quantity of the normal figures of mitotic divisions of the tumor cells or number of positive cells studied with Ki-67 (labelling indices Red).

Ok

Evaluate

DE 14:58 03.05.2012

location | Brain Tumour Consultant - Mozilla Firefox
 Datei bearbeiten Ansicht Chronik Lesezeichen Extras Hilfe
 Grado Application | Brain Tumour Co... x iGoogle
 2dzanga.com/btc/index.php?=grado/main

GRADO MEDES DSI

Grado

Diffuse infiltration 0 1 2 3

Necrosis 0 1 2 3

Vascular abnormalities 0 1 2 3

Vascular occlusions 0 1 2 3

Cellular polymorphism 0 1 2 3

Pericyron size 0 1 2 3

Nuclear polymorphism 0 1 2 3

Typical mitoses 0 1 2 3

Atypical mitoses 0 1 2 3

Undifferentiated cells 0 1 2 3

APPLICATION MENU

- About Grado
- Grado Application**
- Grado Help

✓ Evaluate

DE 14:58 03.05.2012

location | Brain Tumour Consultant - Mozilla Firefox
 Datei bearbeiten Ansicht Chronik Lesezeichen Extras Hilfe
 Grado Application | Brain Tumour Co... x iGoogle
 2dzanga.com/btc/index.php?=grado/main

Brain Tumour Consultant

Usuario de Prueba (logout)

HOME APPLICATIONS ACCOUNT HELP

GRADO MEDES DSI

Grado

Malignity Coefficient
1.82

Grade I	39.90%
Grade II	41.32%
Grade III	16.08%
Grade IV	2.70%

APPLICATION MENU

- About Grado
- Grado Application**
- Grado Help

Evaluate again

DE 14:58 03.05.2012

location | Brain Tumour Consultant - Mozilla Firefox
 Datei bearbeiten Ansicht Chronik Lesezeichen Extras Hilfe
 Medes Application | Brain Tumour Co... x iGoogle
 2dzanga.com/btc/index.php?=medes/diagnoses

Brain Tumour Consultant

Usuario de Prueba (logout)

HOME APPLICATIONS ACCOUNT HELP

GRADO MEDES DSI

Diagnosis Profiles

Here is a list containing all the diagnose profiles available for the public domain on Brain Tumour Consultant. The profiles are distinguished into two groups, public and personal, where personal refers to your designed profiles. Click once to get brief information about the profile, double-click to load it.

Public Profiles	Personal Profiles
<ul style="list-style-type: none"> Neurology Neuropathology Neuroradiology General Pathology 	Quick information <p>Click in any of the profiles in the left to get information, edit or load them.</p>

APPLICATION MENU

- About Medes
- Medes Application**
- Diagnoses
- Design a diagnosis
- Medes Help

LaNCE 2dzanga

http://2dzanga.com/btc/index.php?=medes/diagnoses

About Contact Us Terms of Use Privacy Policy © Brain Tumour Consultant, 2011

DE 14:58 03.05.2012

Brain Tumour Consultant

HOME APPLICATIONS ACCOUNT HELP

GRADO MEDES DSI

Diagnosis Profiles

Here is a list containing all the diagnose profiles available for the public domain on Brain Tumour Consultant. The profiles are distinguished into two groups, public and personal, where personal refers to your designed profiles. Click once to get brief information about the profile, double-click to load it.

Public Profiles

- Neurology
- Neuropathology
- Neuroradiology
- General Pathology

Personal Profiles

Quick information

Click in any of the profiles in the left to get information, edit or load them.

APPLICATION MENU

- About Medes
- Medes Application
- Diagnoses
- Design a diagnosis
- Medes Help

Survival of Malignant Astrocytomas

Feature n° 1 of 15

Glial filaments: Unknown

Start again **Next symptom**

Survival of Malignant Astrocytomas

Diagnosis Information

Diagnosis Wizard

Diagnosis Help

Survival Category	Percentage
Survival 0-1 years	37.93%
Survival >1-1.5 years	17.24%
Survival >1.5-2.5 years	18.97%
Survival > 2.5 years	25.86%

LaNCE **2dZanga**

About Contact Us Terms of Use Privacy Policy

Brain Tumour Consultant, 2011

DE 14:58 03.05.2012

LaNCE **2dZanga**

About Contact Us Terms of Use Privacy Policy

Brain Tumour Consultant, 2011

DE 14:58 03.05.2012

Survival of Malignant Astrocytomas

Feature n° 2 of 15

Age: Unknown

Start again **Next symptom**

Survival of Malignant Astrocytomas

Diagnosis Information

Diagnosis Wizard

Diagnosis Help

Survival Category	Percentage
Survival 0-1 years	37.93%
Survival >1-1.5 years	17.24%
Survival >1.5-2.5 years	18.97%
Survival > 2.5 years	25.86%

Survival of Malignant Astrocytomas

Feature n° 4 of 15

Malignance coef.: Range: 0.62 to 4.19

Start again **Next symptom**

Survival of Malignant Astrocytomas

Diagnosis Information

Diagnosis Wizard

Diagnosis Help

Survival Category	Percentage
Survival 0-1 years	63.50%
Survival >1-1.5 years	15.61%
Survival >1.5-2.5 years	0.03%
Survival > 2.5 years	20.86%

LaNCE **2dZanga**

About Contact Us Terms of Use Privacy Policy

Brain Tumour Consultant, 2011

DE 14:58 03.05.2012

LaNCE **2dZanga**

About Contact Us Terms of Use Privacy Policy

Brain Tumour Consultant, 2011

DE 14:58 03.05.2012

The screenshot shows a web-based medical application titled "Brain Tumour Consultant". The main menu includes "HOME", "APPLICATIONS", "ACCOUNT", and "HELP". The "APPLICATIONS" tab is active, showing a sub-menu with "GRADO", "MEDES" (selected), and "DSI". The main content area displays "Survival of Malignant Astrocytomas" with a progress bar indicating "Feature n° 5 of 15". A dropdown menu for "Reticular architecture" is set to "Unknown". Below this, three survival probability options are listed:

Survival Category	Probability (%)
Survival 0-1 years	63.50%
Survival >1-1.5 years	15.61%
Survival >1.5-2.5 years	0.03%

A sidebar on the right contains an "APPLICATION MENU" with links to "About Medes", "Medes Application", "Diagnoses", "Design a diagnosis", and "Medes Help". A small "Survival of Malignant Astrocytomas" icon is also present.

Bei diskreten Zufallsvariablen ist der **Wertebereich**

$$W_X := X(\Omega) = \{x \in \mathbb{R}; \exists \omega \in \Omega \text{ mit } X(\omega) = x\}$$

ebenfalls wieder endlich (bzw. abzählbar unendlich).

5. Zufallsvariablen

5.1 Grundlagen

Anstatt der Ereignisse selbst sind wir oft an „Auswirkungen“ oder „Merkmale“ der (Elementar)Ereignisse interessiert.

Definition 1

Sei ein Wahrscheinlichkeitsraum auf der Ergebnismenge Ω gegeben. Eine Abbildung

$$X : \Omega \rightarrow \mathbb{R}$$

heißt **(numerische) Zufallsvariable**.

Eine Zufallsvariable X über einer endlichen oder abzählbar unendlichen Ergebnismenge Ω heißt **diskret**.

Beispiel 2

Wir werfen eine ideale Münze drei Mal. Als Ergebnismenge erhalten wir $\Omega := \{H, T\}^3$. Die Zufallsvariable Y bezeichne die Gesamtanzahl der Würfe mit Ergebnis „Head“.

Beispielsweise gilt also $Y(HTH) = 2$ und $Y(HHH) = 3$. Y hat den Wertebereich $W_Y = \{0, 1, 2, 3\}$.

Für $W_X = \{x_1, \dots, x_n\}$ bzw. $W_X = \{x_1, x_2, \dots\}$ betrachten wir (für ein beliebiges $1 \leq i \leq n$ bzw. $x_i \in \mathbb{N}$) das Ereignis

$$A_i := \{\omega \in \Omega; X(\omega) = x_i\} = X^{-1}(x_i).$$

Bemerkung: Anstelle von $\Pr[X^{-1}(x_i)]$ verwendet man häufig auch die Schreibweise $\Pr[„X = x_i“]$. Analog setzt man

$$\begin{aligned}\Pr[„X \leq x_i“] &= \sum_{x \in W_X : x \leq x_i} \Pr[„X = x“] \\ &= \Pr[\{\omega \in \Omega; X(\omega) \leq x_i\}].\end{aligned}$$

Oft lässt man auch die Anführungszeichen weg.

Definition 3

- Die Funktion

$$f_X : \mathbb{R} \ni x \mapsto \Pr[X = x] \in [0, 1] \quad (4)$$

nennt man (**diskrete**) **Dichte(funktion)** der Zufallsvariablen X .

- Die Funktion

$$F_X : \mathbb{R} \ni x \mapsto \Pr[X \leq x] = \sum_{x \in W_X : x' \leq x} \Pr[X = x'] \in [0, 1] \quad (5)$$

heißt **Verteilung(sfunktion)** der Zufallsvariablen X .

Beispiel 4

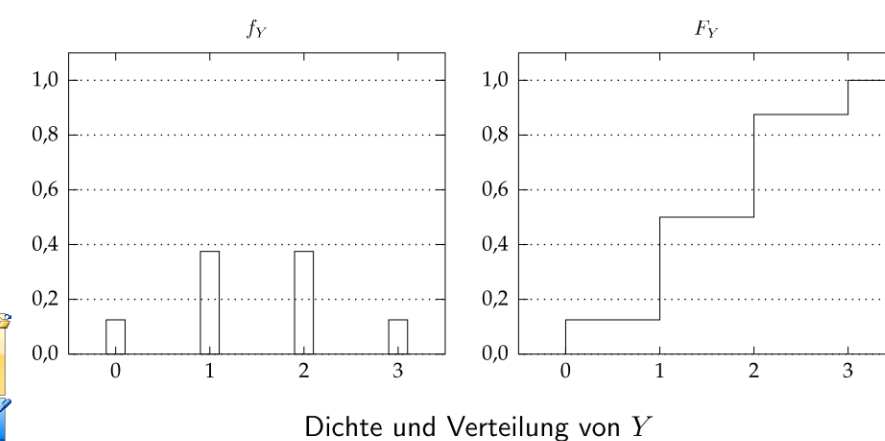
Für die Zufallsvariable Y erhalten wir

$$\Pr[Y = 0] = \Pr[TTT] = \frac{1}{8},$$

$$\Pr[Y = 1] = \Pr[HTT] + \Pr[THT] + \Pr[TTH] = \frac{3}{8},$$

$$\Pr[Y = 2] = \Pr[HHT] + \Pr[HTH] + \Pr[THH] = \frac{3}{8},$$

$$\Pr[Y = 3] = \Pr[HHH] = \frac{1}{8}.$$



Dichte und Verteilung von Y

Bemerkung: Man kann statt Ω auch den zugrunde liegenden Wahrscheinlichkeitsraum über W_X betrachten.

Beispiel 4

Für die Zufallsvariable Y erhalten wir

$$\Pr[Y = 0] = \Pr[TTT] = \frac{1}{8},$$

$$\Pr[Y = 1] = \Pr[HTT] + \Pr[THT] + \Pr[TTH] = \frac{3}{8},$$

$$\Pr[Y = 2] = \Pr[HHT] + \Pr[HTH] + \Pr[THH] = \frac{3}{8},$$

$$\Pr[Y = 3] = \Pr[HHH] = \frac{1}{8}.$$

5.2 Erwartungswert und Varianz

Definition 5

Zu einer Zufallsvariablen X definieren wir den [Erwartungswert](#) $\mathbb{E}[X]$ durch

$$\mathbb{E}[X] := \sum_{x \in W_X} x \cdot \Pr[X = x] = \sum_{x \in W_X} x \cdot f_X(x),$$

sofern $\sum_{x \in W_X} |x| \cdot \Pr[X = x]$ konvergiert.

Beispiel 6

$$\begin{aligned}\mathbb{E}[Y] &= \sum_{i=0}^3 i \cdot \Pr[Y = i] \\ &= 1 \cdot \Pr[Y = 1] + 2 \cdot \Pr[Y = 2] + 3 \cdot \Pr[Y = 3] \\ &= 1 \cdot \frac{3}{8} + 2 \cdot \frac{3}{8} + 3 \cdot \frac{1}{8} = \frac{3}{2}.\end{aligned}$$

5.2 Erwartungswert und Varianz

Definition 5

Zu einer Zufallsvariablen X definieren wir den [Erwartungswert](#) $\mathbb{E}[X]$ durch

$$\mathbb{E}[X] := \sum_{x \in W_X} x \cdot \Pr[X = x] = \sum_{x \in W_X} x \cdot f_X(x),$$

sofern $\sum_{x \in W_X} |x| \cdot \Pr[X = x]$ konvergiert.

Beispiel 6

$$\begin{aligned}\mathbb{E}[Y] &= \sum_{i=0}^3 i \cdot \Pr[Y = i] \\ &= 1 \cdot \Pr[Y = 1] + 2 \cdot \Pr[Y = 2] + 3 \cdot \Pr[Y = 3] \\ &= 1 \cdot \frac{3}{8} + 2 \cdot \frac{3}{8} + 3 \cdot \frac{1}{8} = \frac{3}{2}.\end{aligned}$$

5.2 Erwartungswert und Varianz

Definition 5

Zu einer Zufallsvariablen X definieren wir den [Erwartungswert](#) $\mathbb{E}[X]$ durch

$$\mathbb{E}[X] := \sum_{x \in W_X} x \cdot \Pr[X = x] = \sum_{x \in W_X} x \cdot f_X(x),$$

sofern $\sum_{x \in W_X} |x| \cdot \Pr[X = x]$ konvergiert.

Beispiel 6

$$\begin{aligned} \mathbb{E}[Y] &= \sum_{i=0}^3 i \cdot \Pr[Y = i] \\ &= 1 \cdot \Pr[Y = 1] + 2 \cdot \Pr[Y = 2] + 3 \cdot \Pr[Y = 3] \\ &= 1 \cdot \frac{3}{8} + 2 \cdot \frac{3}{8} + 3 \cdot \frac{1}{8} = \frac{3}{2}. \end{aligned}$$

Da

$$\sum_{k=1}^{\infty} |(-1)^{k-1} \cdot k| \cdot \left(\frac{1}{2}\right)^k \leq \sum_{k=1}^{\infty} k \cdot \left(\frac{1}{2}\right)^k,$$

existiert der Erwartungswert $\mathbb{E}[G]$.

Es gilt

$$\begin{aligned} \mathbb{E}[G] &= \sum_{j=1}^{\infty} \left[(2j-1) \cdot \left(\frac{1}{2}\right)^{2j-1} - 2j \cdot \left(\frac{1}{2}\right)^{2j} \right] \\ &= \sum_{j=1}^{\infty} \left(\frac{1}{2}\right)^{2j-1} \cdot [(2j-1) - j] \\ &= \frac{1}{2} \cdot \sum_{j=1}^{\infty} (j-1) \cdot \left(\frac{1}{4}\right)^{j-1} = \frac{1}{2} \cdot \frac{\frac{1}{4}}{(1-\frac{1}{4})^2} = \frac{2}{9}. \end{aligned}$$

Beispiel 7

Eine Münze wird so lange geworfen, bis sie zum ersten Mal „Head“ zeigt. Sei k die Anzahl der durchgeführten Würfe. Wenn k ungerade ist, zahlt der Spieler an die Bank k Euro. Andernfalls (k gerade) zahlt die Bank k Euro an den Spieler.

$$G := \begin{cases} k & \text{falls } k \text{ ungerade,} \\ -k & \text{falls } k \text{ gerade.} \end{cases}$$

Wie schon gesehen, gilt dann

$$\Pr[\text{Anzahl Würfe} = k] = (1/2)^k.$$

Damit erhalten wir

$$\mathbb{E}[G] = \sum_{k=1}^{\infty} (-1)^{k-1} \cdot k \cdot \left(\frac{1}{2}\right)^k.$$

Da

$$\sum_{k=1}^{\infty} |(-1)^{k-1} \cdot k| \cdot \left(\frac{1}{2}\right)^k \leq \sum_{k=1}^{\infty} k \cdot \left(\frac{1}{2}\right)^k,$$

existiert der Erwartungswert $\mathbb{E}[G]$.

Es gilt

$$\begin{aligned}\mathbb{E}[G] &= \sum_{j=1}^{\infty} \left[(2j-1) \cdot \left(\frac{1}{2}\right)^{2j-1} - 2j \cdot \left(\frac{1}{2}\right)^{2j} \right] \\ &= \sum_{j=1}^{\infty} \left(\frac{1}{2}\right)^{2j-1} \cdot [(2j-1) - j] \\ &= \frac{1}{2} \cdot \sum_{j=1}^{\infty} (j-1) \cdot \left(\frac{1}{4}\right)^{j-1} = \frac{1}{2} \cdot \frac{\frac{1}{4}}{(1-\frac{1}{4})^2} = \frac{2}{9}.\end{aligned}$$

Wird jedoch, um das Risiko zu steigern, der zu zahlende Betrag von k Euro jeweils auf 2^k Euro erhöht, also

$$G' := \begin{cases} 2^k & \text{falls } k \text{ ungerade,} \\ -2^k & \text{falls } k \text{ gerade,} \end{cases}$$

dann existiert $\mathbb{E}[G']$ nicht, da

$$\begin{aligned}\mathbb{E}[G'] &= \sum_{i=1}^{\infty} (-1)^{k-1} \cdot 2^k \cdot \left(\frac{1}{2}\right)^k \\ &= \sum_{i=1}^{\infty} (-1)^{k-1} = +1 - 1 + 1 - 1 + \dots\end{aligned}$$

Wird jedoch, um das Risiko zu steigern, der zu zahlende Betrag von k Euro jeweils auf 2^k Euro erhöht, also

$$G' := \begin{cases} 2^k & \text{falls } k \text{ ungerade,} \\ -2^k & \text{falls } k \text{ gerade,} \end{cases}$$

dann existiert $\mathbb{E}[G']$ nicht, da

$$\begin{aligned}\mathbb{E}[G'] &= \sum_{i=1}^{\infty} (-1)^{k-1} \cdot 2^k \cdot \left(\frac{1}{2}\right)^k \\ &= \sum_{i=1}^{\infty} (-1)^{k-1} = +1 - 1 + 1 - 1 + \dots\end{aligned}$$

Wird jedoch, um das Risiko zu steigern, der zu zahlende Betrag von k Euro jeweils auf 2^k Euro erhöht, also

$$G' := \begin{cases} 2^k & \text{falls } k \text{ ungerade,} \\ -2^k & \text{falls } k \text{ gerade,} \end{cases}$$

dann existiert $\mathbb{E}[G']$ nicht, da

$$\begin{aligned} \mathbb{E}[G'] &= \sum_{i=1}^{\infty} (-1)^{k-1} \cdot 2^k \cdot \left(\frac{1}{2}\right)^k \\ &= \sum_{i=1}^{\infty} (-1)^{k-1} = +1 - 1 + 1 - 1 + - \dots \end{aligned}$$

Berechnung des Erwartungswerts:

$$\begin{aligned} \mathbb{E}[X] &= \sum_{x \in W_X} x \cdot \Pr[X = x] = \sum_{x \in W_X} x \cdot f_X(x) \\ &= \sum_{x \in W_X} x \sum_{\omega \in \Omega: X(\omega)=x} \Pr[\omega] \\ &= \sum_{\omega \in \Omega} X(\omega) \cdot \Pr[\omega]. \end{aligned}$$

Bei unendlichen Wahrscheinlichkeitsräumen ist dabei analog zur Definition des Erwartungswerts erforderlich, dass $\sum_{\omega \in \Omega} |X(\omega)| \cdot \Pr[\omega]$ konvergiert (**absolute Konvergenz**).

Satz 8 (Monotonie des Erwartungswerts)

Seien X und Y Zufallsvariablen über dem Wahrscheinlichkeitsraum Ω mit $X(\omega) \leq Y(\omega)$ für alle $\omega \in \Omega$. Dann gilt $\mathbb{E}[X] \leq \mathbb{E}[Y]$.

Beweis:

$$\mathbb{E}[X] = \sum_{\omega \in \Omega} X(\omega) \cdot \Pr[\omega] \leq \sum_{\omega \in \Omega} Y(\omega) \cdot \Pr[\omega] = \mathbb{E}[Y].$$



Aus Satz 8 folgt insbesondere, dass $a \leq \mathbb{E}[X] \leq b$ gilt, wenn für die Zufallsvariable X die Eigenschaft $a \leq X(\omega) \leq b$ für alle $\omega \in \Omega$ erfüllt ist.

Aus

$$\Pr[Y = y] = \Pr[\{\omega \mid f(X(\omega)) = y\}] = \sum_{x : f(x)=y} \Pr[X = x]$$

folgt

$$\begin{aligned}\mathbb{E}[f(X)] &= \mathbb{E}[Y] = \sum_{y \in W_Y} y \cdot \Pr[Y = y] \\ &= \sum_{y \in W_Y} y \cdot \sum_{x : f(x)=y} \Pr[X = x] = \sum_{x \in W_X} f(x) \cdot \Pr[X = x] \\ &= \sum_{\omega \in \Omega} f(X(\omega)) \cdot \Pr[\omega].\end{aligned}$$

Satz 9 (Linearität des Erwartungswerts, einfache Version)

Für eine beliebige Zufallsvariable X und $a, b \in \mathbb{R}$ gilt

$$\mathbb{E}[a \cdot X + b] = a \cdot \mathbb{E}[X] + b.$$

Beweis:

$$\begin{aligned}\mathbb{E}[a \cdot X + b] &= \sum_{x \in W_X} (a \cdot x + b) \cdot \Pr[X = x] \\ &= a \cdot \sum_{x \in W_X} x \cdot \Pr[X = x] + b \cdot \sum_{x \in W_X} \Pr[X = x] \\ &= a \cdot \mathbb{E}[X] + b.\end{aligned}$$

□